



آنالیز دینامیکی تیر تیموشنکوی پیش‌تئیده به کمک روش المان محدود طیفی بر پایه‌ی تبدیل موجک

علی مختاری^۱, حمیدرضا میردامادی^{۲*} و مصطفی غیور^۳

^۱ کارشناسی ارشد، دانشکده مهندسی مکانیک، دانشگاه صنعتی اصفهان، اصفهان، ایران

^۲ دانشیار، دانشکده مهندسی مکانیک، دانشگاه صنعتی اصفهان، اصفهان، ایران

^۳ استاد، دانشکده مهندسی مکانیک، دانشگاه صنعتی اصفهان، اصفهان، ایران

تاریخ دریافت: ۱۳۹۳/۱۲/۲۵؛ تاریخ بازنگری: ۱۳۹۵/۰۷/۰۴؛ تاریخ پذیرش: ۱۳۹۵/۱۰/۱۱

چکیده

در این پژوهش، فرمول‌بندی روش المان محدود طیفی بر پایه تبدیل موجک برای آنالیز زمانی و بسامدی (فرکانسی) تیر تیموشنکوی زیر نیروی کششی یا فشاری محوری ثابت (پیش‌تئیده) ارایه می‌شود. معادله‌های دیفرانسیل، پارهای وابسته به مکان و زمان حاکم بر این سامانه، به کمک تابع‌های مقیاس داویچیز، به معادله‌های دیفرانسیل معمولی کوپله و وابسته به مکان تبدیل می‌شوند. این معادله‌ها، به کمک آنالیز مقدارهای ویژه، دکوبله می‌شوند. از حل دقیق این معادله‌ها در سامانه‌های یک بعدی، برای استخراج تابع‌های شکل دینامیکی و ماتریس سختی دینامیکی بهره گرفته می‌شود. این سامانه به کمک روش المان محدود طیفی بر پایه تبدیل موجک، می‌تواند تنها به یک المان تقسیم شود، ولی در روش المان محدود کلاسیک، المان‌های بیشتری به کار گرفته می‌شود. دقت پاسخ‌های بدست آمده از روش المان محدود طیفی بر پایه تبدیل موجک، با پاسخ‌های روش المان محدود کلاسیک، راستی آزمایی (صحه‌گذاری) می‌شوند. نتیجه‌های عددی، گویای برتری این روش در کاهش تعداد المان‌ها و افزایش دقت، در مقایسه با روش المان محدود کلاسیک است. این برتری در سامانه‌های با محتوای بسامدی بالاتر، نمایان‌تر است؛ هم‌چنین، تاثیر نیروی کششی یا فشاری محوری ثابت روی پاسخ‌های دینامیکی و بسامدھای طبیعی سامانه، بررسی می‌شود. نایابداری دبورزانس سامانه، زیر نیروی فشاری محوری بحرانی نیز بررسی می‌شود.

کلمات کلیدی: المان محدود طیفی بر پایه تبدیل موجک؛ تیر تیموشنکو؛ تابع مقیاس موجک داویچیز؛ نایابداری دبورزانس؛ پیش‌تئیده.

Dynamic Analysis of Prestressed Timoshenko Beam by using Wavelet-Based Spectral Finite Element Method

A. Mokhtari¹, H.R. Mirdamadi^{2,*}, M. Ghayour²

¹ M.Sc., Mech. Eng., Isfahan University of Technology., Isfahan, Iran.

² Assoc. Prof., Mech. Eng., Isfahan University of Technology., Isfahan, Iran.

³ Prof., Mech. Eng., Isfahan University of Technology., Isfahan, Iran.

Abstract

In this article, wavelet-based spectral finite element (WSFE) is formulated for time domain and wave domain dynamic analysis of Timoshenko beam subjected to a uniform axial tensile or compressive force (prestressed). Daubechies wavelet basis functions transform the time and space-dependent governing partial differential equations into a set of coupled space-dependent ordinary differential equations (ODE). The resulting ODEs are decoupled through an eigenvalue analysis and then solved exactly to obtain the shape functions and dynamic stiffness matrix. In the WSFE model, a beam can be divided into only a single element, but larger number of elements may be used in a finite element (FE) model. The accuracy of present WSFE model is validated by comparing its results with those of FE method. The results display advantages of WSFE model compared to FE one in reducing number of elements as well as increasing numerical accuracy. These advantages are more visible in higher frequency content excitations. In addition, the effects of axial tensile or compressive force on time domain analysis and system natural frequencies are investigated. Divergence instability of beam subjected to critical axial compressive force is investigated.

Keywords: Wavelet-Based Spectral Finite Element; Timoshenko Beam; Daubechies Wavelet Basis Function; Divergence Instability; Prestressed.

آزاد تیر تیموشنکوی ترکدار تحت نیروی محوری را به کمک روش ماتریس سختی دینامیکی بررسی کردند. لی جون و همکاران [۱۰]، ارتعاشات آزاد تیر کامپوزیتی زیر نیروی محوری را به کمک روش ماتریس سختی دینامیکی بررسی کردند. یوزبیکلی و همکاران [۱۱]، ارتعاشات آزاد تیر تیموشنکوی پیش‌تنیده با حرکت محوری را به کمک روش المان محدود طیفی بر پایه تبدیل فوریه بررسی کردند. یوزبیکلی و جانگ [۱۲]، مدل المان محدود طیفی بر پایه تبدیل فوریه تیر تیموشنکوی کامپوزیتی تحت نیروی محوری را ارایه کردند. چن [۱۳]، ارتعاشات آزاد تیر تیموشنکوی با میرایی محلی کلوبن-ویت و تحت نیروی محوری را به کمک المان محدود کلاسیک بررسی کرد.

روش المان محدود کلاسیک، شناخته شده‌ترین روش عددی در تحلیل دینامیکی سازه‌هاست. این روش، به دلیل توانمندی بالای آن در برنامه‌نویسی کامپیوترا، در شاخه‌های گوناگون مهندسی، کاربرد فراوانی یافته است. روش المان محدود کلاسیک، بر پایه بخش‌بندی سازه به المان‌های متعدد و استخراج ماتریس‌های سختی و جرم استوار است. باید اشاره داشت که دقت این روش تا جایی است که طول موج، از طول هر المان بزرگ‌تر باشد. با افزایش بسامد، طول موج کاهش یافته، در نتیجه برای افزایش دقت روش المان محدود کلاسیک، باید اندازه المان‌ها کوچک و کوچک‌تر شود. هم‌چنین، روش المان محدود کلاسیک، به استخراج ماتریس‌های سختی و جرم منجر می‌شود که این ماتریس‌ها از تابع‌های شکل استاتیکی به دست می‌آیند؛ در نتیجه، این تابع‌ها بدون تغییر و مستقل از بسامد هستند؛ بنابراین، در روش المان محدود کلاسیک در بسامدهای بالا، باید اندازه المان‌ها کوچک و در نتیجه تعداد آن‌ها افزایش یابد تا دقت بیشتر شود که این از نقص‌های عمدۀ این روش به شمار می‌آید. بخش‌بندی سازه به المان‌های بسیار ریز، سبب افزایش تعداد درجه‌های آزادی سیستم شده، در نتیجه زمان و هزینه انجام محاسبات نیز افزایش می‌باید؛ بنابراین، بسیاری از پژوهشگران به فکر یافتن جایگزین‌های مناسب برای این روش افتادند. روش المان محدود طیفی بر پایه تبدیل فوریه، از جمله روش‌های نوین برای جایگزینی روش المان محدود کلاسیک است. این روش، در دو دهه اخیر، در بررسی دینامیکی رفتار سازه‌ها مورد توجه و استقبال پژوهشگران قرار گرفته است.

۱- مقدمه

بررسی رفتار دینامیکی تیر تحت نیروی کشش با فشار محوری در زمینه‌های مهندسی عمران، مکانیک، و هوافضاء، از اهمیت ویژه‌ای برخوردار است. استخراج بسامدهای طبیعی و شکل مودها در طراحی برخی سازه‌های زیر نیروی پیش-کشش یا پیش-فشار در طراحی وسایل نقلیه فضایی ضروری است. از دیگر نمونه‌ها، می‌توان به سازه‌های تحت نیروی گرانش، مانند سازه‌های حفاری و سازه‌های انتقال نفت و گاز از زیر دریا به کشتی‌های نفت‌کش اشاره کرد. در بسیاری از این سازه‌ها، حل دقیقی برای بررسی رفتار دینامیکی آن‌ها وجود ندارد. به همین دلیل، از روش‌های عددی مانند روش ریلی-ریتز، گالرکین، المان محدود کلاسیک^۱، المان محدود دینامیکی^۲، و المان محدود طیفی^۳ بهره گرفته شده است. بوکیان، بسامدهای طبیعی تیر اویلر-برنولی تحت نیروی فشاری محوری [۱] و کششی محوری [۲] را با استفاده از یک حل بسته^۴ ارایه کرد. یوکوباما [۳]، از روش المان محدود کلاسیک برای بررسی ارتعاش تیرهای آویزان اویلر-برنولی و تیموشنکو بهره گرفت. هاشمی و ریچارد [۴]، ارتعاش آزاد تیر خمشی-پیچشی اویلر-برنولی تحت نیروی محوری را با استفاده از روش المان محدود دینامیکی مطالعه کردند. روش المان محدود دینامیکی، روشی بین روش المان محدود کلاسیک و روش سختی دینامیکی است. ناگولسوaran [۵]، بسامدهای طبیعی تیر اویلر-برنولی تحت نیروی کششی و فشاری محوری که به صورت خطی تغییر می‌کند را با استفاده از چهار سری توانی به دست آورد. کاویانپور و همکاران [۶]، تاثیر نیروی کششی محوری بر رفتار ارتعاشات آزاد تیر اویلر-برنولی با شرایط مرزی آزاد-آزاد را به صورت آزمایشگاهی و تحلیلی، مورد مطالعه و ارزیابی قرار دادند. سونسون [۷]، پاسخ دینامیکی تیر تیموشنکو و اویلر-برنولی تحت نیروی محوری فشاری را به کمک سری فوریه سینوسی استخراج کرد. می و همکاران [۸]، ارتعاشات آزاد و واداشته تیر تیموشنکوی ترکدار زیر نیروی محوری را به کمک دیدگاه موج (طیفی) بررسی کردند. ویولا و همکاران [۹]، ارتعاشات

¹ Finite Element (FE)

² Dynamic Finite Element (DFE)

³ Spectral Finite Element (SFE)

⁴ Closed Form Solution

از جمله حوزه بسامد ندارد. روش المان محدود طیفی بر پایه تبدیل فوریه در سازه‌های نامیرا و یا با میرایی ناچیز با مشکل روپردازی که روش المان محدود طیفی بر پایه تبدیل موجک، این نتایج را برطرف می‌سازد؛ همچنین، باید اشاره داشت که این روش، تمامی مزیت‌های روش المان محدود طیفی بر پایه تبدیل فوریه سریع را دارد. مقاله‌های [۱۴-۱۷]، بهره‌گیری از روش المان محدود طیفی بر پایه تبدیل موجک را ارایه داده‌اند.

در این پژوهش، تیر تیموشنکوی پیش‌تئیده به کمک روش المان محدود طیفی بر پایه تبدیل موجک برای آنالیز زمانی و بسامدی فرمول‌بندی می‌شود. ابتدا، آنالیز بسامدی با روش المان محدود طیفی بر پایه تبدیل موجک متناوب^۱ انجام می‌شود. پس از آن، با در نظر گرفتن نیروی ضربه در وسط سازه با شرایط تکیه‌گاهی دو سر لولا، آنالیز زمانی به-کمک روش المان محدود طیفی بر پایه تبدیل موجک مانا-تناوب^۲ با دو المان طیفی بررسی می‌شود. آنالیز زمانی و بسامدی تیر تیموشنکوی پیش‌تئیده، بررسی ناپایداری دیورڈنس و استخراج نیروی فشاری بحرانی با بهره‌گیری از روش المان محدود طیفی بر پایه تبدیل موجک (با در نظر گرفتن تنها دو المان)، از نوآوری‌های این پژوهش به شمار می‌آیند. به گفته دیگر، روش المان محدود طیفی بر پایه تبدیل موجک که از دید نویسنده‌گان تاکنون برای تیر تیموشنکوی پیش‌تئیده به کار گرفته نشده است، دست‌آورد پژوهشی این پژوهش محسوب می‌شود.

۲- استخراج معادله‌های حاکم بر سازه

شکل ۱، تیر تیموشنکوی یکنواخت تحت نیروی کششی ثابت N_x ، با سختی خمی EI و سختی برشی KGA ، جرم در واحد طول ρA ، و گشتاور اینرسی جرمی ρI را نشان می‌دهد؛ هم‌چنین، طول تیر L است.

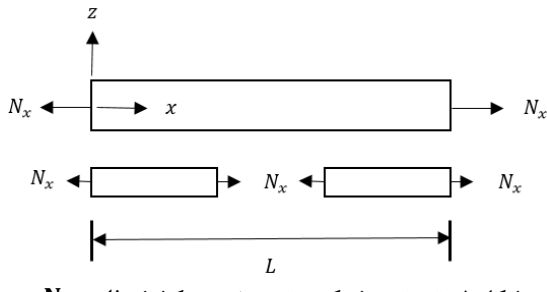
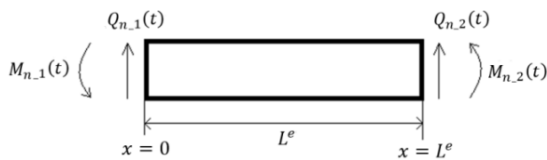
از اصل همیلتون برای استخراج معادله‌های دیفرانسیل حاکم بر سازه، رابطه‌های (۱) و (۲) و شرایط مرزی، رابطه (۳)، بهره گرفته می‌شود.

^۱ Periodic Wavelet-Based Spectral Finite Element (PWSFE)

^۲ Non-Periodic Wavelet-Based Spectral Finite Element (NPWSFE)

روشی که می‌تواند پاسخ‌های دقیق و مناسب را حتی برای مساله‌های بارگذاری در بسامد بالا، ارایه کند. بهطور کلی، روش المان محدود طیفی بر پایه تبدیل فوریه به حل معادله‌های حاکم بر سیستم در حوزه‌بسامد می‌پردازد. این روند به صورت دقیق صورت می‌گیرد (در صورت وجود) و معادله‌های دیفرانسیل پاره‌ای وابسته به مکان و زمان با استفاده از تابع تبدیل فوریه سریع، به معادله‌های دیفرانسیل معمولی وابسته به مکان تبدیل می‌شوند. تکیه این روش بر حل دقیق سبب می‌شود که برخلاف روش المان محدود کلاسیک، این روش نیاز چندانی به بخش‌بندی سازه به المان‌های ریز نداشته باشد؛ در نتیجه، دست‌یابی به پاسخ‌های دقیق، تنها با یک یا دو المان نیز امکان پذیر می‌شود.

از دیگر روش‌های جدید، برای جایگزینی روش المان محدود کلاسیک و طیفی بر پایه تبدیل فوریه، روش المان محدود طیفی بر پایه تبدیل موجک است که امروزه برای تحلیل دینامیکی سازه‌ها کاربرد دارد. در این روش، معادله‌های دیفرانسیل پاره‌ای وابسته به مکان و زمان با استفاده از تابع‌های مقیاس داویچیز، به معادله‌های دیفرانسیل معمولی کوپله وابسته به مکان تبدیل می‌شوند که با روش آنالیز مقدارهای ویژه، دکوپله می‌گردد. برخلاف روش المان محدود کلاسیک که در آن از تابع‌های شکل استاتیکی، بهره برده می‌شود، تابع‌های شکل دینامیکی، از حل دقیق معادله‌های دیفرانسیل معمولی دکوپله وابسته به مکان به دست می‌آیند. ماتریس سختی دینامیکی نیز، بر پایه تابع‌های شکل دینامیکی ساخته می‌شود. این ماتریس به طور همزمان، در بردارنده ویژگی‌های جرم و سختی المان است. حل دقیق معادله‌های حاکم بر سازه و بهره‌گیری از تابع‌های شکل دینامیکی، در روش المان محدود طیفی بر پایه تبدیل موجک، سبب افزایش دقت پاسخ‌ها در مقایسه با روش المان محدود کلاسیک است که از فرض‌هایی مانند، تابع‌های شکل استاتیکی بهره می‌برد؛ هم‌چنین، عدم نیاز به در نظر گرفتن تعداد المان زیاد، سبب از بین رفتن خطاهای مربوط به بخش‌بندی سازه می‌شود و زمان و هزینه محاسبات نیز کاهش می‌یابد؛ هم‌چنین، روش المان محدود طیفی بر پایه تبدیل موجک، برخلاف روش المان محدود طیفی بر پایه تبدیل فوریه که برای پاسخ‌های زمانی نیاز به پاسخ‌های بسامدی دارد، نیاز به نگاشت پاسخ‌ها در حوزه‌های گوناگون،

شکل ۱- تیر تیموشنکوی تحت نیروی کشش ثابت N_x شکل ۲- یک المان تیر تیموشنکوی تحت نیروی
کشش ثابت N_x

که \mathcal{H} یک شمارنده برای انتخاب مقادیر مختلف گسسته-سازی شده تابع داخل سری است. این عبارت برای سایر تابع-های وابسته به مکان و زمان، از جمله $\theta(x, t)$ و $f(x, t)$ برقرار است. این تخمین‌ها در معادله‌های دیفرانسیل حاکم بر سازه جایگذاری می‌شوند و رابطه‌های (۸) و (۹) به دست می‌آید.

$$\kappa GA \sum_{\mathcal{H}} \left(\frac{d^2 w_{\mathcal{H}}}{dx^2} - \frac{d\theta_{\mathcal{H}}}{dx} \right) \varphi(\tau - \mathcal{H}) + N_x \sum_{\mathcal{H}} \frac{d^2 W_{\mathcal{H}}}{dx^2} \varphi(\tau - \mathcal{H}) + \sum_{\mathcal{H}} f_{\mathcal{H}} \varphi(\tau - \mathcal{H}) - \frac{1}{\Delta t^2} \rho A \sum_{\mathcal{H}} w_{\mathcal{H}} \frac{d^2 \varphi(\tau - \mathcal{H})}{d\tau^2} = 0 \quad (8)$$

$$EI \sum_{\mathcal{H}} \frac{d^2 \theta_{\mathcal{H}}}{dx^2} \varphi(\tau - \mathcal{H}) + \kappa GA \sum_{\mathcal{H}} \left(\frac{dw_{\mathcal{H}}}{dx} - \theta_{\mathcal{H}} \right) \varphi(\tau - \mathcal{H}) - \frac{1}{\Delta t^2} \rho I \sum_{\mathcal{H}} \theta_{\mathcal{H}} \frac{d^2 \varphi(\tau - \mathcal{H})}{d\tau^2} = 0 \quad (9)$$

تابع‌های مقیاس داوچیز، دارای ویژگی تعامد هستند که در رابطه (۱۰) بیان شده است.

$$\int_{-\infty}^{+\infty} \varphi(\tau - \mathcal{H}) \varphi(\tau - j) d\tau = 0 \quad \text{for } j \neq \mathcal{H} \quad (10)$$

تابع‌های مقیاس داوچیز، دارای دو ویژگی مهم هستند. اول این که متتعامد هستند که پیش‌تر در رابطه (۱۰) بیان شد. دوم این که بیشتر انرژی آن‌ها در بازه کوچکی مرکز شده است و به سرعت میرا می‌شوند یا به عبارت دیگر، به‌شکل

$$\kappa GA \left(\frac{\partial^2 w}{\partial x^2} - \frac{\partial \theta}{\partial x} \right) - \rho A \frac{\partial^2 w}{\partial t^2} + N_x \frac{\partial^2 w}{\partial x^2} + f(x, t) = 0 \quad (1)$$

$$EI \frac{\partial^2 \theta}{\partial x^2} + \kappa GA \left(\frac{\partial w}{\partial x} - \theta \right) - \rho I \frac{\partial^2 \theta}{\partial t^2} = 0 \quad (2)$$

$$\begin{cases} Q(0, t) = -Q_{n,1}(t) - N_x \frac{\partial w(0, t)}{\partial x} \\ M(0, t) = -M_{n,1}(t) \\ Q(L^e, t) = Q_{n,2}(t) - N_x \frac{\partial w(L^e, t)}{\partial x} \\ M(L^e, t) = M_{n,2}(t) \end{cases} \quad (3)$$

نیروی برانگیزش خارجی، $Q_{n,1}$ و $Q_{n,2}$ به ترتیب، نیروهای برشی عرضی اعمال شده در $x = 0$ و $x = L^e$ و $M_{n,1}$ و $M_{n,2}$ به ترتیب، گشتاورهای خمشی اعمال شده در $x = 0$ و $x = L^e$ نشان داده شده است. یادآوری می‌شود که طول یک المان است.

$M(x, t)$ و $Q(x, t)$ به ترتیب، نیروی برشی و گشتاور خمشی هستند که رابطه‌های (۴) و (۵) برای آن‌ها بیان شده است.

$$Q(x, t) \triangleq \kappa GA \left(\frac{\partial w}{\partial x} - \theta \right) \quad (4)$$

$$M(x, t) \triangleq EI \frac{\partial \theta}{\partial x} \quad (5)$$

درستی رابطه‌های (۱) تا (۵) به کمک مقایسه با مقاله یوزیکلی و همکاران [۱۱]، با صرف نظر از حرکت محوری، اثبات می‌شود.

۳- گسسته‌سازی زمانی

روش المان محدود طیفی بر پایه تبدیل موجک، روش عددی است که پاسخ $w(x, t)$ و $\theta(x, t)$ را به صورت گسسته در نقطه‌های نمونه‌برداری ارایه می‌دهد. به کمک رابطه (۶)، پیجه‌ره زمانی t در نقطه گسسته‌سازی می‌شود. مدت زمان آنالیز سامانه است.

$$t = \tau \Delta t, \quad \tau = 0, 1, 2, \dots, n-1 \quad (6)$$

فاصله زمانی بین دو نقطه‌ی نمونه‌برداری است. مطابق با رابطه (۷)، تابع $w(x, t)$ به کمک تابع مقیاس‌سازی داوچیز^۱

$\varphi(\tau)$ در هر نقطه نمونه تخمین زده می‌شود [۱۴].

$$w(x, t) = w(x, \tau) = \sum_{\mathcal{H}} w(x, \mathcal{H} \Delta t) \varphi(\tau - \mathcal{H}) = \sum_{\mathcal{H}} w_{\mathcal{H}}(x) \varphi(\tau - \mathcal{H}), \quad \mathcal{H} \in \mathbb{Z} \quad (7)$$

¹ Daubechies scaling Function

روش المان محدود طیفی بر پایه تبدیل موجک متناوب و نامتناوب برای حل این مشکل در نظر گرفته شده است [۱۴-۱۷]. روش متناوب، فقط توانایی آنالیز بسامدی برای سازه را دارد، در حالی که روش نامتناوب، توانایی آنالیز زمانی و بسامدی برای سازه را به طور همزمان دارا است. روی هم رفت، روش المان محدود طیفی بر پایه تبدیل موجک برخلاف روش المان محدود طیفی بر پایه تبدیل فوریه، نیازی به تغییر حوزه (مانند تبدیل حوزه زمان به حوزه بسامد) ندارد. در این پژوهش، برای آنالیز بسامدی سازه، روش متناوب به دلیل حجم کمتر محاسبات در نظر گرفته می‌شود. در روش متناوب، رابطه‌های (۱۳) و (۱۴) به فرم رابطه‌های (۱۷) و (۱۸) بیان می‌شوند.

$$\kappa GA \left\{ \frac{d^2 w_j}{dx^2} - \frac{d\theta_j}{dx} \right\} - (\rho A \Lambda^2) \{w_j\} + N_x \left\{ \frac{d^2 w_j}{dx^2} \right\} + \{f_j\} = 0, \quad j = 0, 1, 2, \dots, n-1 \quad (17)$$

$$EI \left\{ \frac{d^2 \theta_j}{dx^2} \right\} + \kappa GA \left\{ \frac{dw_j}{dx} - \theta_j \right\} - (\rho I \Lambda^2) \{\theta_j\} = 0, \quad j = 0, 1, 2, \dots, n-1 \quad (18)$$

Λ^1 و Λ^2 ماتریس‌های گردشی $n \times n$ هستند و ماتریس‌های ضریب ارتباط درجه اول و دوم حاصل از روش متناوب نامیده می‌شوند.

در روش نامتناوب، رابطه‌های (۱۳) و (۱۴) به فرم رابطه‌های (۱۹) و (۲۰) بیان می‌شوند.

$$\kappa GA \left\{ \frac{d^2 w_j}{dx^2} - \frac{d\theta_j}{dx} \right\} - (\rho A \Gamma^2) \{w_j\} + N_x \left\{ \frac{d^2 w_j}{dx^2} \right\} + \{f_j\} = 0, \quad j = 0, 1, 2, \dots, n-1 \quad (19)$$

$$EI \left\{ \frac{d^2 \theta_j}{dx^2} \right\} + \kappa GA \left\{ \frac{dw_j}{dx} - \theta_j \right\} - (\rho I \Gamma^2) \{\theta_j\} = 0, \quad j = 0, 1, 2, \dots, n-1 \quad (20)$$

Γ^1 و Γ^2 ماتریس‌های $n \times n$ هستند و ماتریس‌های ضریب ارتباط درجه اول و دوم حاصل از روش نامتناوب نامیده می‌شوند. باید گفت که ماتریس‌های ضریب ارتباط Γ^1 ، Γ^2 و Λ^1 و Λ^2 مستقل از سامانه می‌باشند و فقط به درجه موجک داویچیز N وابسته هستند. با این ترتیب، معادله‌های دیفرانسیل پاره‌ای وابسته به مکان و زمان حاکم بر سازه، به معادله‌های دیفرانسیل معمولی کوپله وابسته به مکان تبدیل شدن.

^۵ Circulant Matrix

^۶ First and Second Order Connection Coefficient Matrices

کارآمدی کران دار هستند. این تابع‌ها به این دو دلیل، موجک‌های متعامد با محمل فشرده^۱ نامیده می‌شوند. مطابق رابطه (۱۱)، انتگرال گیری روی ضرب دو تابع مقیاس داویچیز و تابع مشتق اول آن، ضریب‌های ارتباط درجه اول Ω_{j-H}^1 را ایجاد می‌کند. با جایگذاری مشتق دوم تابع مقیاس داویچیز به جای مشتق اول آن در رابطه (۱۱)، ضریب‌های ارتباط درجه دوم Ω_{j-H}^2 مطابق با رابطه (۱۲) ایجاد می‌شود. این ضریب‌ها فقط در گستره $[j-N+2, j+N-2]$ ناچفر هستند که N درجه موجک داویچیز است. جزیبات دقیق محاسبه آن‌ها، توسط بیکلین [۱۸] بیان شده است.

$$\Omega_{j-H}^1 = \int_{-\infty}^{+\infty} \frac{d\varphi(\tau-H)}{d\tau} \varphi(\tau-j) d\tau \quad (11)$$

$$\Omega_{j-H}^2 = \int_{-\infty}^{+\infty} \frac{d^2\varphi(\tau-H)}{d\tau^2} \varphi(\tau-j) d\tau \quad (12)$$

که $j = 0, 1, 2, \dots, n-1$ است. به کمک این ویژگی‌ها، دو طرف معادله‌های دیفرانسیل تخمینی در (j) ضرب می‌شود و رابطه‌های (۱۳) و (۱۴) به دست می‌آیند.

$$\kappa GA \left(\frac{d^2 w_j}{dx^2} - \frac{d\theta_j}{dx} \right) + N_x \frac{d^2 w_j}{dx^2} - \frac{1}{\Delta t^2} \rho A \sum_{H=j-N+2}^{j+N-2} \Omega_{j-H}^2 w_H + f_j = 0 \quad (13)$$

$$EI \frac{d^2 \theta_j}{dx^2} + \kappa GA \left(\frac{dw_j}{dx} - \theta_j \right) - \frac{1}{\Delta t^2} \rho I \sum_{H=j-N+2}^{j+N-2} \Omega_{j-H}^2 \theta_H = 0 \quad (14)$$

به همین ترتیب، نیروی برشی و گشتاور خمی می‌شوند. صورت رابطه‌های (۱۵) و (۱۶) گسسته‌سازی می‌شوند.

$$M_j = EI \frac{d\theta_j}{dx} \quad (15)$$

$$Q_j = \kappa GA \left(\frac{dw_j}{dx} - \theta_j \right) \quad (16)$$

با دقت در رابطه‌های (۱۳) و (۱۴) مشاهده می‌شود که تعدادی از w_j ها و θ_j ها خارج از بازه‌ی 1 ($j = 0, 1, 2, \dots, n-1$) قرار می‌گیرند. به این مشکل، مشکل مقدار مرزی^۴ گویند. دو

^۱ Orthogonal Compactly Supported Wavelets

^۲ First Order Connection Coefficients

^۳ Second Order Connection Coefficients

^۴ Boundary Value Problem (BVP)

با همین بیان، گشتاور خمشی و نیروی برشی در هر q طبق رابطه‌های (۳۰) و (۳۱) به دست می‌آیند.

$$\bar{M}_q = EI \frac{d\hat{\theta}_q}{dx} \quad (30)$$

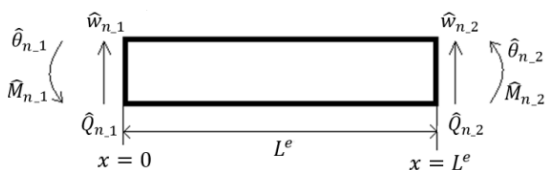
$$\bar{Q}_q = \kappa GA \left(\frac{d\hat{w}_q}{dx} - \hat{\theta}_q \right) \quad (31)$$

روی هم رفته، همه رابطه‌های مربوط به روش‌های نامتناوب و متناوب، فرمول‌بندی یکسانی دارند، جز این که γ_q به λ_q تبدیل می‌شود. برای سادگی در این نوشتار، فقط فرمول‌بندی روش نامتناوب بیان می‌شود، به جز در حوزه بسامد و موردهایی که یادآوری می‌شود.

همان‌طور که بیان شد، همه ماتریس‌های ضریب ارتباط، مستقل از سامانه و فقط وابسته به درجه موجک داوبچیز N هستند؛ بنابراین، آنالیز مقدارهای ویژه برای قطری‌سازی، یک بار برای همیشه انجام و ذخیره‌سازی می‌شود. این کار سبب کاهش حجم محاسبات می‌شود.

۴- گسسته‌سازی مکانی

شکل ۳ یک المان طیفی تیر با دو گره، دو درجه آزادی عرضی \hat{w}_q و چرخشی $\hat{\theta}_q$. نیروی برشی گرهی \bar{Q}_q و گشتاور خمشی گرهی \bar{M}_q را نشان می‌دهد.



شکل ۳- یک المان طیفی تیر همراه با نیروها و جابه‌جایی‌های گرهی

فرمول‌بندی ماتریس سختی دینامیکی برای یک المان تیر که 4×4 است، در ادامه بیان می‌شود. از این پس، زیرنویس q برای راحتی نوشته نمی‌شود. با حل معادله‌های دیفرانسیل (۲۷) و (۲۸) به صورت همگن ($\hat{f}_q = 0$)، تابع دقیق درون‌یابی مطابق با رابطه (۳۲) به دست می‌آید.

$$\hat{w}(x) = ae^{-ikx}, \quad \hat{\theta}(x) = be^{-ikx} \quad (32)$$

در رابطه تابع‌های درون‌یابی، k عدد موج المان محدود طیفی بر پایه تبدیل موجک است. با جایگذاری این تابع‌ها در

با این‌که Γ^2 و Λ^2 به‌طور مستقل محاسبه می‌شوند، اما برای کاهش حجم محاسبات، آن‌ها را از رابطه (۲۱) بر اساس Γ^1 و Λ^1 به دست می‌آورند [۱۴].

$$\Lambda^2 = [\Lambda^1]^2, \quad \Gamma^2 = [\Gamma^1]^2 \quad (21)$$

ماتریس‌های ضریب ارتباط، به‌کمک رابطه‌های (۲۲) و (۲۳) قطری‌سازی می‌شوند. از این قطری‌سازی برای دکوبله کردن معادله‌های دیفرانسیل (۱۷) تا (۲۰) استفاده می‌شود.

$$[\Gamma^1] = \Phi \Pi \Phi^{-1} \quad (22)$$

$$[\Gamma^2] = \Phi \Pi^2 \Phi^{-1} \quad (23)$$

در رابطه‌های قطری‌سازی (۲۲) و (۲۳)، Φ ماتریس دربردارنده بردارهای ویژه $[\Gamma^1]$ ، Π ماتریس قطری شامل γ_i و Π^2 ماتریس قطری شامل γ_j -است. همین بیان برای i مقدارهای ویژه ماتریس $[\Gamma^1]$ است. همین بیان برای j ماتریس‌های ویژه $[\Lambda^2]$ است. همین بیان برای $\Lambda^2 = \Psi \Xi \Psi^{-1}$ و $[\Lambda^1] = \Psi \Xi^2 \Psi^{-1}$ اجرا می‌شود. ماتریس $[\Lambda^1]$ در رابطه (۲۴) نشان داده شده است.

$$\Lambda^1 = \frac{1}{\Delta t} \begin{bmatrix} \Omega_0^1 & \Omega_{-1}^1 & \dots & \Omega_{-N+2}^1 & \dots & \Omega_{-2}^1 & \dots & \Omega_1^1 \\ \Omega_1^1 & \Omega_0^1 & \dots & \Omega_{-N+3}^1 & \dots & 0 & \dots & \Omega_2^1 \\ \vdots & \vdots & \ddots & \vdots & \ddots & \vdots & \ddots & \vdots \\ \Omega_{-1}^1 & \Omega_{-2}^1 & \dots & 0 & \dots & \Omega_{N-3}^1 & \dots & \Omega_0^1 \end{bmatrix} \quad (24)$$

مقدارهای ویژه α_j و بردارهای ویژه v_p متناظر با این ماتریس در [۱۹] به صورت تحلیلی به دست آمده است.

$$\begin{aligned} \alpha_j &= i\lambda_j = \frac{1}{\Delta t} \sum_{k=-N+2}^{N-2} \Omega_k^1 e^{-2\pi i j k / n} \\ &= \frac{-2i}{\Delta t} \sum_{k=1}^{N-2} \Omega_k^1 \sin(2\pi j k / n), \end{aligned} \quad j = 0, 1, 2, \dots, n-1 \quad (25)$$

$$v_{jp} = \frac{1}{\Delta t \sqrt{n}} e^{-2\pi i j k / n}, p = 1, 2, \dots, n \quad (26)$$

هم‌چنان، Ξ ماتریس قطری شامل α_j ، Ξ^2 ماتریس قطری شامل γ_j^2 ، و $[\Xi] = [v_{jp}]$ است.

به‌این ترتیب، n معادله دیفرانسیل معمولی طبق رابطه‌های (۲۷) تا (۲۹) به دست می‌آیند که هر کدام از آن‌ها باید در یک q مشخص، $q = 0, 1, 2, \dots, n-1$ ، حل شوند.

$$\begin{aligned} (\kappa GA + N_x) \frac{d^2 \hat{w}_q}{dx^2} + \gamma_q^2 \rho A \hat{w}_q \\ - \kappa GA \frac{d\hat{\theta}_q}{dx} + \hat{f}_q = 0 \end{aligned} \quad (27)$$

$$EI \frac{d^2 \hat{\theta}_q}{dx^2} - (\kappa GA - \gamma_q^2 \rho I) \hat{\theta}_q + \kappa GA \frac{d\hat{w}_q}{dx} = 0 \quad (28)$$

$$\begin{aligned} \{\hat{w}_q\} &= \Phi^{-1}\{w_q\}, \{\hat{\theta}_q\} = \Phi^{-1}\{\theta_q\}, \\ \{\hat{f}_q\} &= \Phi^{-1}\{f_q\} \end{aligned} \quad (29)$$

به طور مشابه، نیروی برشی و گشتاور خمی به صورت ماتریسی در رابطه‌های (۴۲) و (۴۳) بازنویسی می‌شوند.

$$\begin{aligned} \widehat{Q}(x) &= \kappa GA[ik_1 + \zeta_1 \quad ik_2 + \zeta_2 \quad ik_3 + \zeta_3 \quad ik_4 + \zeta_4] \\ &\times \text{diag}\{e^{-ik_rx}\} \begin{Bmatrix} a_1 \\ a_2 \\ a_3 \\ a_4 \end{Bmatrix} = [R'_1][D(x)]\{a\}, \\ r &= 1, 2, 3, 4 \end{aligned} \quad (42)$$

$$\begin{aligned} \widehat{M}(x) &= -iEI[k_1\zeta_1 \quad k_2\zeta_2 \quad k_3\zeta_3 \quad k_4\zeta_4] \times \\ &\text{diag}\{e^{-ik_rx}\} \begin{Bmatrix} a_1 \\ a_2 \\ a_3 \\ a_4 \end{Bmatrix} = [R'_2][D(x)]\{a\}, \\ r &= 1, 2, 3, 4 \end{aligned} \quad (43)$$

برای برآورده‌سازی نیروهای درونی در دو مرز، $d\widehat{w}/dx$ در رابطه‌ی (۴۴) محاسبه می‌شود.

$$\begin{aligned} \frac{d\widehat{w}(x)}{dx} &= -i[k_1 k_2 k_3 k_4] \text{diag}\{e^{-ik_rx}\} \begin{Bmatrix} a_1 \\ a_2 \\ a_3 \\ a_4 \end{Bmatrix} \\ &= [R_3][D(x)]\{a\}, \quad r = 1, 2, 3, 4 \end{aligned} \quad (44)$$

بردار نیروهای گرهی با برآورده‌سازی نیروهای درونی در دو مرز، در رابطه (۴۵)، به دست می‌آید.

$$\begin{aligned} \{\widehat{F}^e\} &= \begin{Bmatrix} \widehat{Q}_{n,1} \\ \widehat{M}_{n,1} \\ \widehat{Q}_{n,2} \\ \widehat{M}_{n,2} \end{Bmatrix} = \begin{Bmatrix} -\widehat{Q}(0) - N_x \frac{d\widehat{w}}{dx} \Big|_{x=0} \\ -\widehat{M}(0) \\ \widehat{Q}(L^e) + N_x \frac{d\widehat{w}}{dx} \Big|_{x=L^e} \\ \widehat{M}(L^e) \end{Bmatrix} \\ &= \begin{Bmatrix} -([R'_1] + N_x[R_3])[D(0)] \\ -[R'_2][D(0)] \\ ([R'_1] + N_x[R_3])[D(L^e)] \\ [R'_2][D(L^e)] \end{Bmatrix} \{a\} = [T_2]\{a\} \end{aligned} \quad (45)$$

با حذف $\{a\}$ از بردارهای جابه‌جایی‌ها و نیروهای گرهی، ماتریس سختی دینامیکی یک المان $[\widehat{K}^e]$ ، طبق رابطه (۴۶) به دست می‌آید.

$$\{\widehat{F}^e\} = [T_2][T_1]^{-1}\{\widehat{u}^e\} = [\widehat{K}^e]\{\widehat{u}^e\} \quad (46)$$

بعد از محاسبه ماتریس سختی دینامیکی برای یک المان، همانند روش المان محدود کلاسیک، سرهم‌بندی در گرهات مختلف طبق رابطه (۴۷)، به صورت عددی انجام و شرط‌های مرزی برآورده‌سازی می‌شوند.

$$\{\widehat{F}^g\} = [\widehat{R}^g]\{\widehat{u}^g\} \quad (47)$$

بعد از محاسبه پاسخ‌ها در سامانه جهانی $\{\widehat{u}^g\}$ ، از پاسخ‌های یک المان $\{\widehat{u}^e\}$ برای دستیابی به ضریب‌های ثابت $\{a\}$ ، طبق رابطه (۴۸)، استفاده می‌شود.

فرمول‌بندی همگن رابطه‌های (۲۷) و (۲۸)، مساله مقدار ویژه رابطه (۳۳) بدست می‌آید.

$$\begin{Bmatrix} X_{11} & X_{12} \\ X_{21} & X_{22} \end{Bmatrix} \begin{Bmatrix} a \\ b \end{Bmatrix} = \begin{Bmatrix} 0 \\ 0 \end{Bmatrix} \quad (33)$$

که پارامترهای این مساله مقدار ویژه (۳۴) است

$$\begin{aligned} X_{11} &= -(\kappa GA + N_x)k^2 + \gamma^2 \rho A, \\ X_{22} &= -EIk^2 - (\kappa GA - \gamma^2 \rho I), \\ X_{12} &= -X_{21} = ikGAk \end{aligned} \quad (34)$$

این مساله مقدار ویژه، رابطه پراکنش (۳۵) را ایجاد می‌کند.

$$c_4k^4 + c_3k^3 + c_2k^2 + c_1k + c_0 = 0 \quad (35)$$

که

$$\begin{aligned} c_4 &= (EI)(\kappa GA + N_x), \\ c_3 &= 0, \\ c_2 &= \kappa GAN_x - \gamma^2 \rho I(\kappa GA + N_x) - \gamma^2 EI \rho A, \\ c_1 &= 0, \\ c_0 &= -\gamma^2 \rho A(\kappa GA - \gamma^2 \rho I) \end{aligned} \quad (36)$$

می‌باشد.

بنابراین، عدد موج k از رابطه پراکنش در رابطه (۳۷) به دست می‌آید.

$$\begin{aligned} k_1 = -k_2 &= \sqrt{\frac{-c_2 + \sqrt{c_2^2 - 4c_4c_0}}{2c_4}}, \\ k_3 = -k_4 &= \sqrt{\frac{-c_2 - \sqrt{c_2^2 - 4c_4c_0}}{2c_4}} \end{aligned} \quad (37)$$

از سطر اول ماتریس رابطه (۳۳)، رابطه بین ضریب‌های a و b در رابطه (۳۸) به دست می‌آید.

$$b_r = \frac{-(\kappa GA + N_x)k_r^2 + \gamma^2 \rho A}{-i\kappa GAk_r} a_r = \zeta_r a_r, \quad r = 1, 2, 3, 4 \quad (38)$$

به این ترتیب، تابع‌های میان‌بایی به صورت ماتریسی در رابطه‌های (۳۹) و (۴۰) بازنویسی می‌شوند.

$$\begin{aligned} \widehat{w}(x) &= [1 \ 1 \ 1 \ 1] \text{diag}\{e^{-ik_rx}\} \begin{Bmatrix} a_1 \\ a_2 \\ a_3 \\ a_4 \end{Bmatrix} \\ &= [R_1][D(x)]\{a\}, \quad r = 1, 2, 3, 4 \end{aligned} \quad (39)$$

$$\begin{aligned} \widehat{\theta}(x) &= [\zeta_1 \zeta_2 \zeta_3 \zeta_4] \text{diag}\{e^{-ik_rx}\} \begin{Bmatrix} a_1 \\ a_2 \\ a_3 \\ a_4 \end{Bmatrix} \\ &= [R_2][D(x)]\{a\}, \quad r = 1, 2, 3, 4 \end{aligned} \quad (40)$$

بردار جابه‌جایی گرهی با برآورده‌سازی درجه‌های آزادی در دو مرز، در رابطه (۴۱)، به دست می‌آید.

$$\begin{aligned} \{\widehat{u}^e\} &= \begin{Bmatrix} \widehat{w}_{n,1} \\ \widehat{\theta}_{n,1} \\ \widehat{w}_{n,2} \\ \widehat{\theta}_{n,2} \end{Bmatrix} = \begin{Bmatrix} \widehat{w}(0) \\ \widehat{\theta}(0) \\ \widehat{w}(L^e) \\ \widehat{\theta}(L^e) \end{Bmatrix} = \begin{Bmatrix} [R_1][D(0)] \\ [R_2][D(0)] \\ [R_1][D(L^e)] \\ [R_2][D(L^e)] \end{Bmatrix} \{a\} \\ &= [T_1]\{a\} \end{aligned} \quad (41)$$

وارد رابطه غیر جبری حاصل از رابطه (۴۹) شده، به ازای آن مقادیری از بسامد که سمت راست رابطه صفر شود، بسامدهای جواب که همان بسامدهای طبیعی هستند، به دست خواهد آمد.

$$\{a\} = [T_1]^{-1}\{\hat{u}^e\} \quad (48)$$

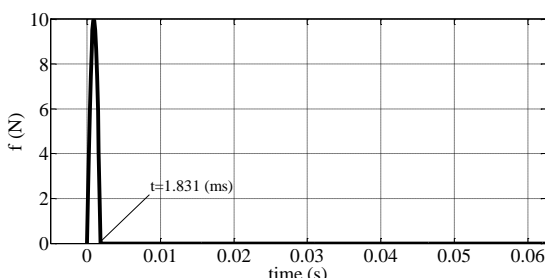
اگر در همه رابطه‌ها، از N_x به جای N_x استفاده شود، معادله‌های حاکم بر تیر تیموشنسکو تحت نیروی فشاری ثابت بددست می‌آید.

۶- آنالیز پایداری

برای آنالیز پایداری سازه، باید بسامدهای طبیعی سازه محاسبه شود؛ در صورتی که بسامدهای طبیعی مقدار حقيقی محض باشند، سازه در حالت پایدار قرار دارد. زمانی که بسامد طبیعی به مقدار صفر برسد، سازه وارد ناحیه ناپایدار دیورژانس می‌شود.

۷- مثال عددی

یک تیر تیموشنسکو با شرایط تکیه‌گاهی دو سر لولا به طول ۵ متر، مدول یانگ ۲۱۰ گیگا پاسگال، مدول برشی ۸۰/۷۶۹ گیگا پاسگال، سطح مقطع به عرض ۰/۵ متر و ارتفاع ۰/۷ متر، چگالی ۷۸۶۰ کیلوگرم بر مترمکعب و فاکتور تصحیح سطح مقطع ۰/۸۵، تحت نیروی ضربه‌ی عرضی شکل ۵ در وسط آن، در نظر گرفته شده است. هدف، محاسبه بسامدهای طبیعی، استخراج نیروی فشاری بحرانی و پاسخ دینامیکی وسط تیر است. بسامدهای طبیعی و المان محدود طیفی، بر پایه تبدیل موجک محاسبه و مقایسه می‌شود. نیروی کششی در همه جا ۲۰ کیلونیوتون است، مگر اینکه اندازه آن بیان شود؛ همچنین، درجه موجک داوچیز ۲۲ در نظر گرفته می‌شود.



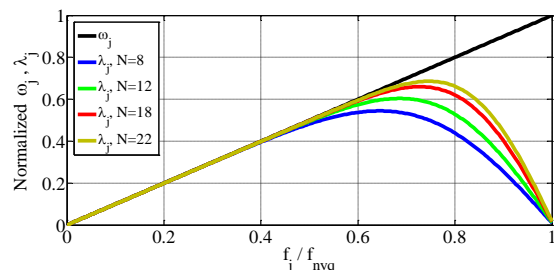
شکل ۵- نیروی ضربه وارد بر وسط تیر

۸- آنالیز بسامدی

با استفاده از روش المان محدود طیفی بر پایه تبدیل موجک متناوب و با انتخاب (میکروثانیه) $\Delta t = 15/259$ ، بسامدهای

۵- آنالیز بسامدی

مختاری و همکاران [۱۷] و میترا و گوبالاکریشنان [۱۹]، نشان دادند که در یک Δt مشخص، ζ_j تا کسر معلومی از بسامد نایکوییست ($f_{nyq} = 1/2\Delta t$) به درستی با $(2\pi j/n\Delta t) = \omega_j$ برابر خواهد بود؛ بنابراین، می‌توان بهطور مستقیم از المان محدود طیفی بر پایه تبدیل موجک در حوزه بسامد سود جست. این کسر معلوم را با p_N نشان می‌دهندکه وابسته به درجه موجک داوچیز است. p_N را می‌توان از شکل ۴ استخراج کرد که با توجه به این شکل، هرچه درجه موجک بالاتر باشد، کسر معلوم نیز بزرگ‌تر است. برای نمونه، p_N موجک درجه ۲۲، تقریباً برابر با $0/6$ و برای درجه ۸ تقریباً برابر با $0/45$ می‌شود. نمودار ارایه شده برای λ_j در شکل ۴، به کمک رابطه (۲۵) ترسیم شده است.



شکل ۴- مقایسه‌ی بین ω_j و λ_j برای درجه‌های مختلف داوچیز

بنابراین، در این روش، عدد موج و بسامدهای طبیعی تا بسامد $f_N = p_N f_{nyq}$ دقیق خواهد بود. بسامدهای طبیعی در این روش، از حل مقدارهای ویژه ماتریس سختی دینامیکی (صفر قرار دادن دترمینان ماتریس سختی دینامیکی طبق رابطه (۴۹) و محاسبه‌های مربوط به آن) بددست می‌آید.

$$\det([\tilde{K}^g(\lambda)]) = 0 \quad (49)$$

این معادله، رابطه مقدار ویژه غیر جبری را نتیجه می‌دهد و برای محاسبه این بسامدها، از روش عددی دو نیم کردن بهره برده می‌شود. بهطوری که بسامد به عنوان یک ورودی

محاسبه و با روش تحلیلی [۲۰] مقایسه شده است. برای اعتبارسنجی (جدول ۲)، تیری با مشخصات مقاله [۱۱] و بدون سرعت در نظر گرفته می‌شود. به این ترتیب، شرایط تکیه‌گاهی دو سر لولا، طول (m) $L = 1$ ، ضخامت سطح مقطع (m) $h = 0.01$ ، عرض سطح مقطع (m) $b = 0.03$ ، جرم بر واحد طول (kg/m) $\rho A = 0.84$ ، ممان اینرسی جرمی بر واحد طول ($\text{kg} \cdot \text{m}$) $\rho I = 7 \times 10^{-6}$ ، سختی $\kappa G A = 6.75$ ($\text{N} \cdot \text{m}^2$)، $EI = 180$ ($\text{N} \cdot \text{m}^2$), سختی برشی \times $N_x = 4.63 \times 10^{-5} \times EA$ (N) و $N_y = 10^6$ (N)، نیروی محوری (Ω) $= \omega / (\sqrt{EI/\rho A}/L^2)$ در نظر گرفته می‌شود.

طبیعی محاسبه شده تا بسامد نزدیک به $19660/8$ هرتز ($f_{nyq} = 62768$) که $0/6$ همان p_N و 32768 همان f_{nyq} است) معتبر خواهد بود. نه بسامد طبیعی اول سازه تحت نیروی کششی ۲۰ کیلونیوتون، در جدول ۱ نمایش داده شده است. در روش المان محدود کلاسیک، با افزایش تعداد المان‌ها، پاسخ‌ها به نتیجه‌های بدست آمده از روش‌های المان محدود طیفی بر پایه تبدیل موجک نزدیک می‌شوند. اختلاف بین این دو روش در بسامدهای بالاتر، بیشتر به چشم می‌خورد؛ به این معنی که روش المان محدود کلاسیک، معمولاً برای مسایل با بسامد بالاتر ضعیفتر عمل می‌کند؛ هم‌چنان، بسامد پنجاهم برای سازه بدون پیش‌کشش

جدول ۱- نه بسامد طبیعی اول تیر پیش‌تینیده با شرط مرزی دو سر لولا

روش تحلیلی [۲۰]	المان محدود کلاسیک (۵ المان)	المان محدود کلاسیک (۵۰۰ المان)	المان محدود طیفی موجک (۱ المان)	بسامدهای طبیعی (هرتز)
-	۶۳/۶۵۷	۶۳/۶۰۳	۶۳/۶۰۳	یکم
-	۲۳۷/۲۵۷	۲۳۴/۶۵۱	۲۳۴/۶۵۰	دوم
-	۴۹۵/۵۰۸	۴۷۴/۸۴۳	۴۷۴/۸۴۱	سوم
-	۸۲۹/۱۷۰	۷۵۳/۴۸۶	۷۵۳/۴۷۸	چهارم
-	۱۵۳۴/۴۸۹	۱۰۵۲/۲۱۶	۱۰۵۲/۱۹۵	پنجم
-	۱۹۴۱/۱۳۶	۱۳۶۰/۹۹۸	۱۳۶۰/۹۵۴	ششم
-	۲۵۱۰/۸۴۷	۱۶۷۴/۴۴۱	۱۶۷۴/۳۵۷	هفتم
-	۲۸۱۳/۸۱۲	۱۹۸۹/۴۴۴	۱۹۸۹/۵۰۳	هشتم
-	۲۸۵۰/۸۶۱	۲۳۰۵/۰۵۶	۲۳۰۴/۸۳۷	نهم
۱۴۶۸۹/۴۲۱	-	۱۵۰۴۹/۸۷۰	۱۴۶۸۹/۴۲۱	پنجاهم (بدون پیش‌کشش)

جدول ۲- اعتبارسنجی بسامدهای طبیعی بی‌بعد به دست آمده از روش ارایه شده در مقاله حاضر با مقاله [۱۱]

مقاله [۱۱]	المان محدود طیفی موجک (۱ المان)	بسامدهای طبیعی بی‌بعد شده
۱/۹۶	۱/۹۶	یکم
۶/۷۱	۶/۷۱	دوم
۱۴/۵۵	۱۴/۵۵	سوم
-	۲۵/۵۱	چهارم
۳۹/۵۴	۳۹/۵۴	پنجم
-	۵۶/۶۷	ششم
-	۷۶/۸۱	هفتم
-	۹۹/۸۸	هشتم
-	۱۲۵/۹۶	نهم
۱۵۴/۹۰	۱۵۴/۹۰	دهم

طیفی بر پایه تبدیل موجک انجام می‌شود. ناپایداری دیورژانس در نیروی محوری بحرانی اول N_{cr} در شکل ۷ نشان داده شده است که در روش المان محدود کلاسیک، با افزایش تعداد المان‌ها، پاسخ‌ها به نتیجه‌های بهدست آمده از روش‌های المان محدود طیفی بر پایه تبدیل موجک نزدیک می‌شوند.

هم‌چنان، جابجایی عرضی وسط تیر تحت نیروی کششی ۲۰ کیلونیوتون در شکل ۸ نشان داده شده است. در شکل ۹، بخشی از شکل ۸ بزرگنمایی شده است. دقت بالا به ازای تعداد المان‌های کمتر این روش نسبت به روش المان محدود کلاسیک، در این شکل نمایان‌تر است. هرچه نیروی کششی افزایش یابد، سختی سازه افزایش می‌یابد؛ درنتیجه اندازه پاسخ دینامیکی تیر کاهش می‌یابد. مقایسه بیشترین دامنه - پاسخ‌های شکل‌های ۷ و ۸ نشان‌دهنده همین واقعیت هستند.

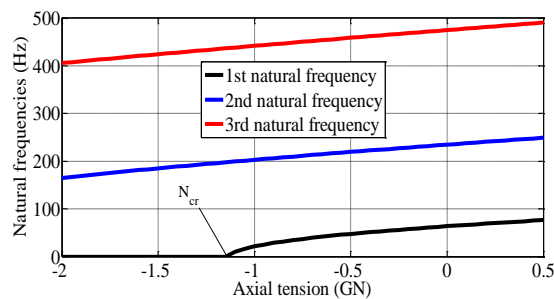
-۸- نتیجه‌گیری

در این پژوهش، تیر تیموشونکوی پیش‌تئیده با روش المان محدود طیفی بر پایه تبدیل موجک برای آنالیز در حوزه‌های زمان و بسامد فرمول‌بندی شد. مقایسه با روش المان محدود کلاسیک با انگیزه راستی‌آزمایی و بزرگنمایی برتری‌های روش المان محدود طیفی بر پایه تبدیل موجک انجام شد. دقت بالای روش المان محدود طیفی بر پایه تبدیل موجک با مقایسه با روش دیگر، نشان داد که می‌تواند جایگزین مناسبی برای روش المان محدود کلاسیک باشد. تعداد المان‌های بسیار کم، سرعت و دقت بالا در محاسبه پاسخ‌ها از ویژگی‌های روش المان محدود طیفی بر پایه تبدیل موجک است. بیان شد که در حوزه بسامد، ویژگی‌های بسامدی موج مانند بسامدهای طبیعی، عدد موج و غیره از روش المان محدود طیفی بر پایه تبدیل موجک تا کسر معلومی از بسامد نایکوییست قابل استخراج است. اندازه Δt روی بسامد نایکوییست تاثیرگذار است؛ بنابراین، انتخاب اندازه Δt در آنالیز بسامدی این روش اهمیت ویژه‌ای دارد.

پایداری سازه و تاثیر اندازه نیروی محوری روی بسامدهای طبیعی و پاسخ‌ها نیز بهدست آمد. حل‌های عددی نشان داد که نیروی کششی محوری، رابطه مستقیم با سختی سازه و بسامدهای طبیعی دارد؛ هم‌چنان، رابطه‌ی وارونی با

توجه شود که این مشخصات فقط برای اعتبارسنجی در آنالیز بسامدی است. از این‌جا به بعد، مشخصات ذکر شده در ابتدای بخش ۷ استفاده می‌شود.

شکل ۶، تاثیر نیروی محوری (کششی و فشاری) روی سه بسامد طبیعی اول سازه را نشان می‌دهد؛ در حالی که نیروی کششی، سبب افزایش بسامدهای طبیعی می‌شود، نیروی فشاری سبب کاهش آن‌ها می‌شود. نیروی فشاری که بسامد طبیعی اول در آن به صفر می‌رسد و باعث نخستین N_{cr} نامیده می‌شود (شکل ۶ مشاهده شود). هم‌چنان، بسامدهای طبیعی دوم و سوم در ناحیه $N_x > N_{cr}$ تقریباً به صورت خطی تغییر می‌کند. این بسامدها در نیروهای محوری بحرانی بعدی نیز به صفر خواهند رسید؛ ولی اهمیت بیشتر نیروی محوری بحرانی اول، سبب بررسی آن در شکل ۶ است.



شکل ۶- تاثیر نیروی محوری بر روی سه بسامد طبیعی اول سازه

-۲-۷- آنالیز زمانی گذرا

در این بخش، روش المان محدود طیفی بر پایه تبدیل موجک نامتناوب (با دو المان و ۵۱۲ نقطه نمونه در پنجره زمانی 0.0625 ثانیه) و روش المان محدود کلاسیک (با 50 ، 80 ، و 100 المان)، برای آنالیز زمانی جابجایی عرضی وسط تیر در نظر گرفته می‌شود. روش‌های عددی تفاضل محدود، θ ویلسون، نیومارک، رانگ و کوتا و غیره برای بخش گسسته‌سازی زمانی در روش المان محدود کلاسیک قابل استفاده هستند که روش نیومارک بهدلیل دقت بالا برای این پژوهش انتخاب شده است. مقایسه بین روش المان محدود طیفی بر پایه تبدیل موجک و روش المان محدود کلاسیک، برای راستی‌آزمایی و نمایش برتری‌های روش المان محدود

۹- فهرست نمادها

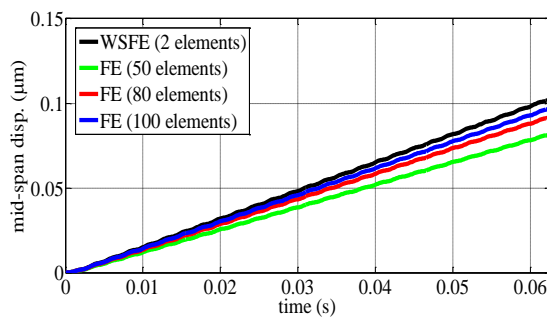
۱-۹- نمادهای لاتین

سطح مقطع (m^2)	A
مدول یانگ (Pa)	E
نیروی برانگیزش خارجی (N)	$f(x, t)$
تبدیل مقیاس نیروی برانگیزش خارجی (N)	$F(x, \tau)$
بردار نیروهای گرهی (Hz)	$\{\hat{F}^e\}$
بسامد نایکوپیست (Pa)	f_{nyq}
مدول برشی (Pa)	G
گشتاور اینرسی سطح مقطع (m^4)	I
ماتریس سختی دینامیکی یک المان (rad/m)	$[K^e]$
عدد موج	k
طول تیر (m)	L
طول المان (m)	L^e
گشتاور خمشی (Nm)	$M(x, t)$
تبدیل مقیاس گشتاور خمشی (Nm)	$\mathcal{M}(x, \tau)$
نیروی کششی محوری ثابت (N)	N_x
درجی موجک داوجیز	N
نیروی محوری بحرانی اول (N)	N_{cr}
تعداد نقاط به کار رفته در تبدیل مقیاس (N)	n
نیروی برشی (N)	$Q(x, t)$
تبدیل مقیاس نیروی برشی (N)	$Q(x, \tau)$
زمان (s)	t
بردار جایه‌جایی گرهی (m)	$\{\hat{u}^e\}$
جایه‌جایی عرضی (m)	$w(x, t)$
تبدیل مقیاس جایه‌جایی عرضی (m)	$W(x, \tau)$
مختصه مکان (m)	x

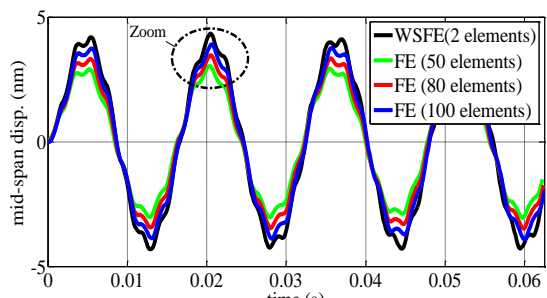
۱۰- نمادهای یونانی

مقدارهای ویژه ماتریس ضریب‌های ارتباط درجه یکم حاصل از روش نامتناوب (rad/s)	$i\gamma$
مقدارهای ویژه ماتریس ضریب‌های ارتباط درجه پنجم حاصل از روش متناوب (rad/s)	$i\lambda$
جایه‌جایی چرخشی (rad)	$\theta(x, t)$
فاکتور تصحیح سطح مقطع	κ
چگالی جرمی (kg/m^3)	ρ
تابع مقیاس داوجیز در هر مقیاس دلخواه m	$\varphi_{m,H}(t)$
بسامد نمونه برداری (rad/s)	ω

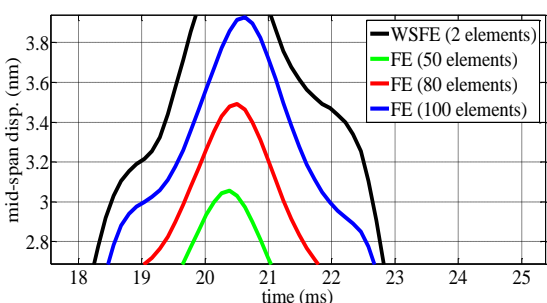
دامنه پاسخهای دینامیکی دارد؛ در حالی که نیروی فشاری محوری، رابطه‌ی وارون با سختی سازه و بسامدهای طبیعی دارد. این نتیجه‌ها و پارامترها از روش‌های المان محدود کلاسیک و طیفی بر پایه تبدیل موجک بر پایه تبدیل طیفی بهدست آمد، با این تفاوت که دقت روش المان محدود طیفی بر پایه تبدیل موجک، بسیار بیشتر و تعداد المان‌ها کمتر بود.



شکل ۷- پاسخ وسط تیر در نیروی محوری
بحرانی اول، N_{cr}



شکل ۸- پاسخ وسط تیر در نیروی محوری
(کیلونیوتن)



شکل ۹- بزرگ‌نمایی بخشی از شکل ۸

- [10] Jun L, Hongxing H, Rongying S (2008) Dynamic stiffness analysis for free vibrations of axially loaded laminated composite beams. Compos Struct 84: 87-98.
- [11] Lee U, Kim J, Oh H (2004) Spectral analysis for the transverse vibration of an axially moving Timoshenko beam. J Sound Vib 271: 685-703.
- [12] Lee U, Jang I (2010) Spectral element model for axially loaded bending-shear-torsion coupled composite Timoshenko beams. Compos Struct 92: 2860-2870.
- [13] Chen W (2011) Bending vibration of axially loaded Timoshenko beams with locally distributed Kelvin-Voigt damping. J Sound Vib 330: 3040-3056.
- [14] Mitra M, Gopalakrishnan S (2005) Spectrally formulated wavelet finite element for wave propagation and impact force identification in connected 1-D waveguides. Int J Solids Struct 42: 4695-4721.
- [15] Mitra M, Gopalakrishnan S (2006) Extraction of wave characteristics from wavelet-based spectral finite element formulation. Mech Syst Signal Pr 20: 2046-2079.
- [16] Mitra M, Gopalakrishnan S (2006) Wavelet based spectral finite element for analysis of coupled wave propagation in higher order composite beams. Compos Struct 73: 263-277.
- [17] Mokhtari A, Mirdamadi H.R, Ghayour M, Sarvestan V (2016) Time/wave domain analysis for axially moving pre-stressed nanobeam by wavelet-based spectral element method. Int J Mech Sci 105: 58-69.
- [18] Beylkin G (1992) On the representation of operators in bases of compactly supported wavelets. SIAM J Numer Anal 6(6): 1716-1740.
- [19] Gopalakrishnan S, Mitra M (2010) Wavelet methods for dynamical problems, Taylor & Francis Group.
- [20] Blevins R.D (1979) Formulas for natural frequencies and mode shape. Van Nostrand Reinhold Company, New York.

ماتریس‌های ضربه‌های ارتباط درجه اول و دوم حاصل از روش نامتناوب	Γ^2, Γ^1
فاصله زمانی بین دو نقطه نمونه (s)	Δt
تبدیل مقایس جابه‌جایی چرخشی (rad)	$\Theta(x, \tau)$
ماتریس‌های ضربه‌های ارتباط درجه اول و دوم حاصل از روش متناوب	Λ^1 و Λ^2
ضریب‌های ارتباط موجک داویچیز	$\Omega_{j-\mathcal{H}}^1$ و $\Omega_{j-\mathcal{H}}^2$

۱۰- مراجع

- [1] Bokaian A (1988) Natural frequencies of beams under compressive axial loads. J Sound Vib 126(1): 49-65.
- [2] Bokaian A (1990) Natural frequencies of beams under tensile axial loads. J Sound Vib 142(3): 481-498.
- [3] Yokayama T (1990) Vibrations of a hanging Timoshenko beam under gravity. J Sound Vib 141(2): 245-258.
- [4] Mohammad Hashemi S, Richard Marc J (2000) Free vibrational analysis of axially loaded bending-torsion coupled beams: a dynamic finite element. Comput Struct 77: 711-724.
- [5] Naguleswaran S (2004) Transverse vibration of an uniform Euler-Bernoulli beam under linearly varying axial force. J Sound Vib 275: 47-57.
- [6] Kavyanpoor M, Islamnejad V, Malekzadeh K (2012) Effect of axial tensile force on the free vibration of Euler-Bernoulli beam. Iranian Society of Acoustics and Vibration 2. (In Persian)
- [7] Svensson I (2002) Dynamic response of constrained axially loaded beam. J Sound Vib 252(4): 739-749.
- [8] Mei C, Karpenko Y, Moody S, Allen D (2006) Analytical approach to free and forced vibrations of axially loaded cracked Timoshenko beams. J Sound Vib 291: 1041-1060.
- [9] Viola E, Ricci P, Aliabadi M.H (2007) Free vibration analysis of axially loaded cracked Timoshenko beam structures using the dynamic stiffness method. J Sound Vib 304: 124-153.